

## Фазовая диаграмма когерентно прецессирующих состояний в ${}^3\text{He}-B$ (случай половинной и удвоенной намагниченности)

Г. Е. Вачнадзе, Н. Г. Сурамлишвили

Институт физики АН Грузии, 380077-GE, Республика Грузия, г. Тбилиси, ул. Тамарашвили 6,  
E-mail:givi@physics.iberiapac.ge

Статья поступила в редакцию 5 января 1996 г.

Исследуется влияние спектрскопической энергии и энергии противотоков на формирование долгоживущих прецессирующих состояний удвоенной и половинной намагниченности в сверхтекучем  ${}^3\text{He}-B$ . Построена фазовая диаграмма для этих состояний.

Досліджено вплив спектрскопічної енергії та енергії протитоку на формування довгоживучих прецесуючих станів подвоєнної та половинної намагніченості у надплинному  ${}^3\text{He}-B$ . Побудовано фазову діаграму для цих станів.

1. Когерентная Ларморова прецессия намагниченности в сверхтекучем  ${}^3\text{He}-B$  представляет собой зависящее от времени упорядоченное состояние с нарушенной симметрией. Оно обладает довольно большой стабильностью. Подобная аномально стабильная прецессия, обнаруженная в 1984 г. [1], является объектом интенсивного исследования. В работе [2] показано, что переходы между различными прецессирующими состояниями являются фазовыми переходами первого рода и построена фазовая диаграмма. Детальный анализ прецессирующих состояний для искаженной магнитным полем  $B$ -фазы был проведен в [3]. Результаты этих работ относятся к случаю, когда величина поляризации спина  $S$  в  ${}^3\text{He}-B$  с большой точностью совпадает со своим равновесным значением  $S_0 = (\chi_B/g)H_0$ , где  $\chi_B$  — магнитная восприимчивость  $B$ -фазы;  $g$  — гиromагнитное отношение для ядер  ${}^3\text{He}$ ;  $H_0$  — приложенное к системе статическое магнитное поле. С другой стороны, согласно результатам работ [4,5], возможно существование долгоживущих прецессирующих состояний, при которых величина поляризации спина значительно отличается от своего равновесного значения. Особый интерес представляют состояния с половинным ( $S = S_0/2$ ) и с удвоенным ( $S = 2S_0$ ) значениями намагниченности.

В такой ситуации возникает необходимость исследования различных прецессирующих состояний половинной и удвоенной намагниченности в

${}^3\text{He}-B$ . В настоящей работе изучается влияние спектрскопической энергии и энергии противотоков на спин-орбитальную конфигурацию когерентно прецессирующих состояний с удвоенной и половинной намагниченностью и строится соответствующая фазовая диаграмма.

2. При наличии сильного магнитного поля, когда дипольная энергия гораздо меньше зеемановской, согласно работе [6], параметр порядка прецессирующих состояний можно представить в виде ортогональной матрицы  $R$ , описывающей относительное вращение спинового и орбитального пространств:

$$\hat{R} = \hat{R}^{(S)} \hat{R}^{(L)}^{-1}, \quad (1)$$

где  $\hat{R}^{(S)}$  и  $\hat{R}^{(L)}$  — матрицы трехмерных вращений спинового и орбитального пространств соответственно. Эти матрицы можно параметризовать углами Эйлера  $(\alpha_S, \beta_S, \gamma_S)$  и  $(\alpha_L, \beta_L, \gamma_L)$ , которые для динамического состояния выступают в роли зависящих от времени переменных.

Потенциал диполь-дипольного взаимодействия для сверхтекучей  $B$ -фазы дается выражением

$$F_D = \frac{2}{15} \chi_B \left( \frac{\Omega_B}{g} \right)^2 \left( \text{Sp } \hat{R} - \frac{1}{2} \right)^2, \quad (2)$$

где  $\Omega_B$  — частота линейного продольного ЯМР, характеризующая силу диполь-дипольного взаимодействия между магнитными моментами ядер  ${}^3\text{He}$ .

В сильных магнитных полях ( $\omega_0 \gg \Omega_B$ ) возможно усреднение дипольной энергии  $F_D(R(t))$  по «быстрым» переменным (в масштабе времени  $\Omega_B^{-1}$ ). Усредненный потенциал будет функцией только «медленных» переменных. Для удвоенного и половинного значений намагниченности медленно изменяющимися переменными являются соответственно  $\Phi = 2\alpha + \gamma$  и  $\Phi = \alpha + 2\gamma$ , где  $\alpha = \alpha_S - \alpha_L$  и  $\gamma = \gamma_S - \gamma_L$  [4]. После усреднения в обоих случаях получаем следующее выражение для энергии спин-орбитального взаимодействия (в единицах  $(2/15)\chi_B(\Omega_B/g)^2$ ) [4]:

$$\begin{aligned} \tilde{f}_D = & \frac{3}{4} \left[ 1 + (1 - l_z^2)(1 - s_z^2) + 2s_z^2l_z^2 + \right. \\ & \left. + \frac{2}{3}(1 - s_z^2)^{1/2}(1 + s_z)(1 - l_z^2)^{1/2}(1 + l_z) \cos \Phi \right]. \end{aligned} \quad (3)$$

Здесь  $s_z = \cos \beta_S$  и  $l_z = \cos \beta_L$  — соответственно ориентации намагниченности и орбитального момента относительно направления приложенного магнитного поля  $\mathbf{H} = H_0 \mathbf{z}$ .

Стационарные спин-орбитальные конфигурации системы могут быть определены минимизацией термодинамического потенциала

$$F' = F + \vec{\omega} \cdot \vec{S}, \quad (4)$$

который определен во вращающейся с угловой скоростью  $\vec{\omega} = \omega \mathbf{z}$  координатной системе, где  $\omega$  — частота поперечного РЧ поля, приложенного к спиновой системе. В уравнении (4)  $F$  является суммой диполь-дипольного потенциала и энергии Зеемана:

$$F = \tilde{f}_D - \vec{\omega}_0 \cdot \vec{S}. \quad (5)$$

В безразмерных единицах (как и в (3))

$$f' = \tilde{f}_D + f_\omega, \quad (6)$$

где  $f_\omega$  представляет собой так называемый спектроскопический член

$$f_\omega = \frac{(\omega - \omega_0)S}{(2/15)\chi_B(\Omega_B/g)^2} = ws_z. \quad (7)$$

Здесь

$$w = \frac{15}{2} p(\omega - \omega_0)\omega_0\Omega_B^{-2}. \quad (8)$$

Для состояния с половинной намагниченностью  $p = 1/2$ , а для состояния с удвоенной намагниченностью  $p = 2$ .

Наряду с дипольным взаимодействием и спектроскопической энергией на формирование равновесной спин-орбитальной конфигурации системы

влияют и противотоки сверхтекущей и нормальной компонент  ${}^3\text{He}$ . Энергия противотоков в случае  $(\mathbf{v}_s - \mathbf{v}_n) \perp \mathbf{z}$  в безразмерных единицах определяется формулой [2]

$$f_{cf} = ul_z^2, \quad (9)$$

где

$$u = \frac{15\rho_a(\mathbf{v}_s - \mathbf{v}_n)^2}{4\chi_B(\Omega_B/g)^2}.$$

Здесь  $\mathbf{v}_s$  и  $\mathbf{v}_n$  — скорости сверхтекущей и нормальной компонент  ${}^3\text{He}$  соответственно;  $\rho_a$  — анизотропная составляющая тензора плотности сверхтекущей компоненты.

Стационарные спин-орбитальные конфигурации системы определяются минимизацией полной свободной энергии, представляющей сумму трех слагаемых — дипольной и спектроскопической энергий и энергии противотоков:

$$f'' = \tilde{f}_D + f_\omega + f_{cf}. \quad (10)$$

3. В отсутствие противотоков ( $u = 0$ ) и при  $\omega = \omega_0$  ( $w = 0$ ) спин-орбитальные конфигурации когерентно прецессирующих состояний как для половинной, так и для удвоенной намагниченности определяются минимизацией диполь-дипольного потенциала (3). Как было показано в [4], для обоих случаев существует пара вырожденных долгоживущих состояний при  $\Phi_{st} = \pi$ , которым соответствуют следующие спин-орбитальные конфигурации:

$$s_z = 0,75, l_z = 0,3, \quad (11\text{a})$$

$$s_z = 0,3, l_z = 0,75. \quad (11\text{a})$$

Кроме того, возможно существование еще двух вырожденных, метастабильных состояний со спин-орбитальными конфигурациями:

$$s_z = -1, l_z = 0, \quad (12\text{a})$$

$$s_z = 0, l_z = -1. \quad (12\text{a})$$

При  $w \neq 0$  и  $u \neq 0$  вырождение снимается, а минимумы (абсолютные и локальные) выражения (10), определяющие спин-орбитальные конфигурации когерентно прецессирующих равновесных состояний, смещаются по сравнению с (11) и (12). При этом каждый минимум свободной энергии получается смещением определенного состояния из (11) и (12). Для упрощения последующих рассуждений состояния, спин-орбитальные конфигурации которых получаются смещением спин-

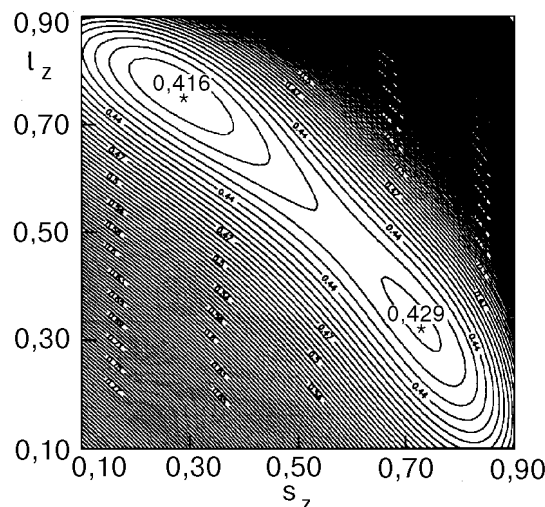


Рис. 1. Фрагмент топографического профиля полной свободной энергии (6) при  $\Phi_{st} = \pi$  и  $w = 0,03$ . Стабильному состоянию 2 соответствует значение энергии  $f' = 0,416$ , метастабильному состоянию 1 — значение  $f' = 0,429$ .

орбитальных конфигураций (11а), (11б), (12а) и (12б), обозначим номерами 1, 2, 3 и 4 соответственно. Отметим, что состояния 3 и 4 соответствуют состояниям RSD и HPD<sup>(2)</sup> из статьи [3].

Сначала рассмотрим случай, когда энергия противотоков равна нулю, а полная свободная энергия дана выражением (6). В этом случае при малых положительных  $w$  стабильными являются состояния 2. К тому же при увеличении  $w$  соответствующий минимум движется на плоскости  $(s_z, l_z)$ :  $l_z$  увеличивается и приближается к единице, а  $s_z$  стремится к нулю. Состояние 1 в интервале  $0 < w < 0,05$  является метастабильным (рис. 1), а для  $w \geq 0,05$  оно исчезает (рис. 2). При  $w = 0,29$  состояния 1 и 3 вырождены (рис. 3), т.е. выполняется условие  $f''(2) = f''(3)$ . В этом случае возможно стабильное существование этих двух состояний. Отметим, что при  $w < 0,29$  состояние 3 является метастабильным. Когда  $w > 0,29$ , состояние 2 становится метастабильным, а стабильной спин-орбитальной конфигурации соответствует состояние 3.

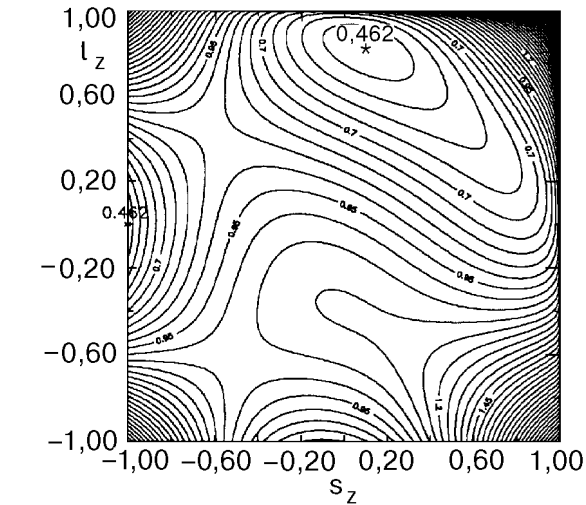


Рис. 3. Топографический профиль (6) при  $\Phi_{st} = \pi$  и  $w = 0,29$ . Вырожденным состояниям 2 и 3 соответствует значение энергии  $f' = 0,462$ .

При  $w < 0$  стабильным состояниям соответствует 1. С увеличением абсолютного значения  $w$  соответствующий ему минимум сдвигается:  $s_z$  увеличивается в сторону единицы, а  $l_z$  уменьшается в сторону нуля. Состояние 2 существует как метастабильное в интервале  $0 > w > -0,05$ , а при  $w \leq -0,05$  соответствующий ему минимум исчезает.

При наличии противотоков на плоскости  $(u, w)$  выделяются отдельные области стабильности того или иного состояния. В то же время в этих областях возможно существование других метастабильных состояний. Например, для  $u = 0,1$  и  $w = 0,2$

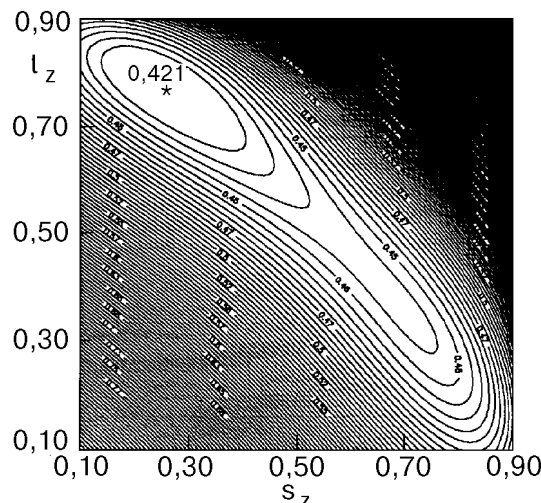


Рис. 2. Фрагмент топографического профиля (6) при  $\Phi_{st} = \pi$  и  $w = 0,05$ . Стабильным является состояние 2.

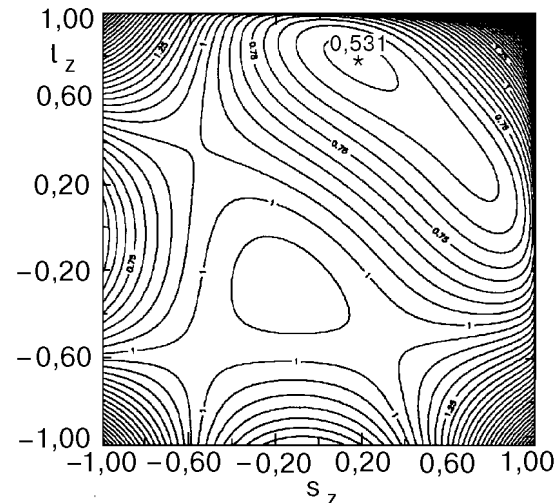


Рис. 4. Топографический профиль (10) при  $u = 0,1$  и  $w = 0,2$ . Стабильным является состояние 2.

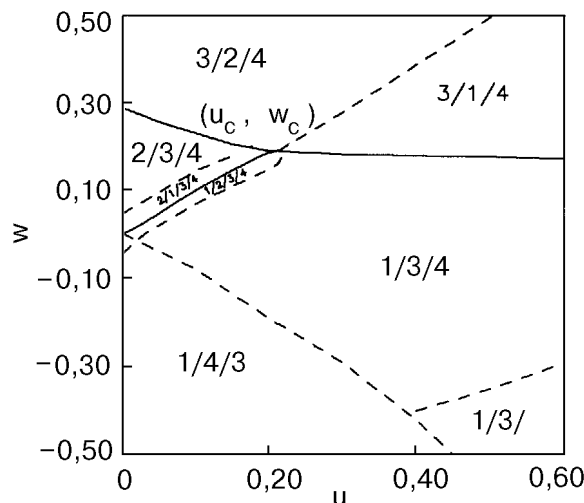


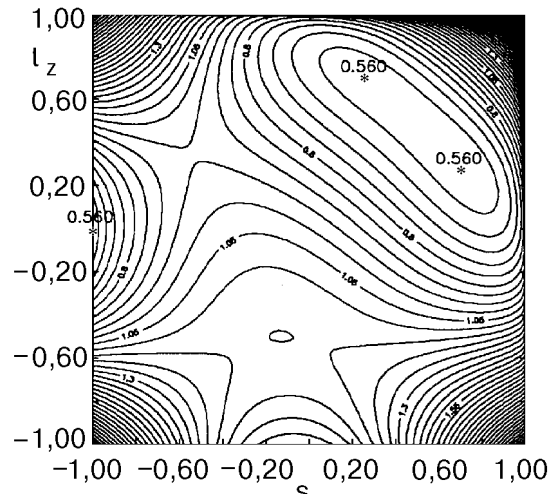
Рис. 5. Фазовая диаграмма для когерентных состояний.

стабильным является состояние 2, а состояния 3 и 4 являются метастабильными (рис. 4).

Ситуация здесь аналогична той, которая встречается в системе жидкость — пар, когда возможно существование метастабильных фаз — переохлажденного пара и перегретой жидкости. Следовательно, когерентно прецессирующие состояния можно считать подобными отдельным фазам, а переходы между ними считать фазовыми переходами первого рода. Фазовая диаграмма для когерентно прецессирующих состояний построена на рис. 5.

На диаграмме сплошными и пунктирными линиями разграничиваются отдельные области, пронумерованные следующим образом: первым стоит номер стабильного состояния, а остальные номера поставлены по мере возрастания величины минимума соответствующего метастабильного состояния. Например, в области, обозначенной 2/3/4, стабильным является состояние 2, тогда как состояния 3 и 4 метастабильны, а минимуму 4 соответствует большее значение энергии, чем минимуму 3 (рис. 4).

На диаграмме фазовым переходам первого рода соответствуют сплошные линии. На этих линиях минимальные значения полной свободной энергии (10) вырождены и поэтому возможно стабильное существование двух фаз. Топографический профиль выражения (10) для одной из точек линии фазового перехода изображен на рис. 3. На рис. 5 существует тройная точка  $u_c = 0,21$ ,  $w_c = 0,19$ , в которой пересекаются три линии фазовых переходов. В этой точке выражение (10) имеет три вырожденных минимума, соответствую-

Рис. 6. Топографический профиль (10) для тройной точки ( $u_c = 0,21$ ,  $w_c = 0,19$ ). Вырожденным состояниям 1, 2 и 3 соответствует значение энергии  $f'' = 0,560$ .

щие состояниям 1, 2 и 3 (рис. 6). Для  $u > u_c$  возможны переходы только между состояниями 1 и 3. Для  $u < u_c$  переходы между состояниями 2 и 3 возможны при  $w > w_c$ , а переходы между состояниями 1 и 2 — при  $w < w_c$ .

При изменении  $u$  и  $w$  спин-орбитальная конфигурация состояния 3 остается практически неизменной. Состояние 4 для всех значений  $u$  и  $w$  является метастабильным.

Авторы выражают благодарность Г. А. Харадзе за полезное обсуждение работы.

1. А. С. Боровик-Романов, Ю. М. Буньков, В. В. Дмитриев, Ю. М. Мухарский, *Письма в ЖЭТФ* **40**, 256 (1984); И. А. Фомин, *Письма в ЖЭТФ* **40**, 256 (1984).
2. J. S. Korhonen and G. E. Volovik, *Письма в ЖЭТФ* **55**, 358 (1992).
3. Yu. M. Bunkov and G. E. Volovik, *ЖЭТФ* **103**, 1619 (1993).
4. G. Kharadze and G. Vachnadze, *Письма в ЖЭТФ* **56**, 474 (1992).
5. G. Kharadze and G. Vachnadze, *ЖЭТФ* **106**, 479 (1994).
6. Т. М. Мисирпашаев, Г. Е. Воловик, *ЖЭТФ* **102**, 1197 (1992).

The phase diagram of coherently precessing states in  $^3\text{He}-B$  (case of half and double magnetization)

G. E. Vachnadze and N. G. Suramlishvili

The influence of spectroscopic and counterflow energies on a formation of the long-lived precessing states of half and double magnetization in superfluid  $^3\text{He}-B$  is investigated. The phase diagram for these states is constructed.